

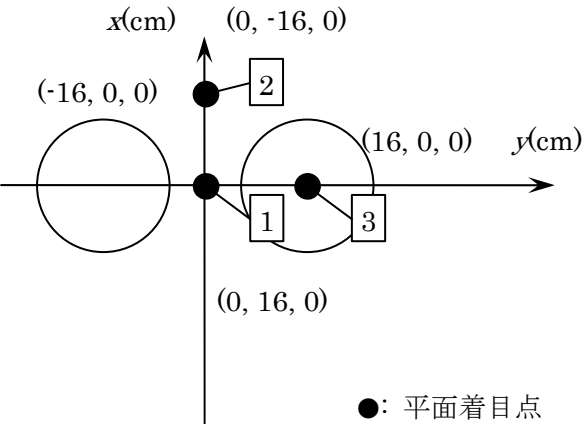
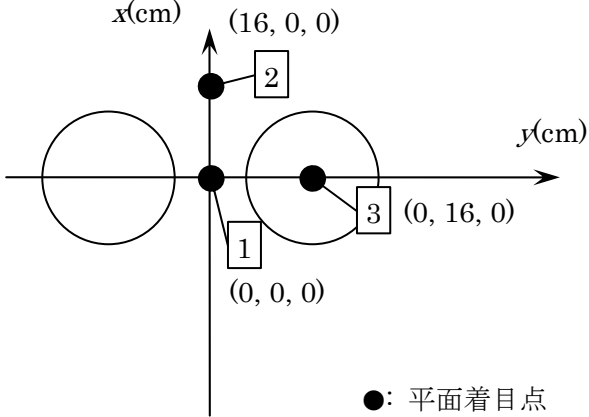
| ページ、 行、図表番号 | 誤 | 正 |
|----------------------|---|--|
| P.32 4行目 | $\mu = \frac{E}{(1+\nu)}$ | $\mu = \frac{E}{2(1+\nu)}$ |
| P.33 5行目 | $\nabla^2 u_x + (\lambda + \mu) \frac{\partial}{\partial x} \left(\frac{\partial u_x}{\partial x} + \frac{\partial u_y}{\partial y} + \frac{\partial u_z}{\partial z} \right) + F_x = 0$ | $\mu \nabla^2 u_x + (\lambda + \mu) \frac{\partial}{\partial x} \left(\frac{\partial u_x}{\partial x} + \frac{\partial u_y}{\partial y} + \frac{\partial u_z}{\partial z} \right) + F_x = 0$ |
| P.33 6行目 | $\nabla^2 u_y + (\lambda + \mu) \frac{\partial}{\partial y} \left(\frac{\partial u_x}{\partial x} + \frac{\partial u_y}{\partial y} + \frac{\partial u_z}{\partial z} \right) + F_y = 0$ | $\mu \nabla^2 u_y + (\lambda + \mu) \frac{\partial}{\partial y} \left(\frac{\partial u_x}{\partial x} + \frac{\partial u_y}{\partial y} + \frac{\partial u_z}{\partial z} \right) + F_y = 0$ |
| P.33 7行目 | $\nabla^2 u_z + (\lambda + \mu) \frac{\partial}{\partial z} \left(\frac{\partial u_x}{\partial x} + \frac{\partial u_y}{\partial y} + \frac{\partial u_z}{\partial z} \right) + F_z = 0$ | $\mu \nabla^2 u_z + (\lambda + \mu) \frac{\partial}{\partial z} \left(\frac{\partial u_x}{\partial x} + \frac{\partial u_y}{\partial y} + \frac{\partial u_z}{\partial z} \right) + F_z = 0$ |
| P.35 12行目 | $u_r = u_x \cos \theta + \underline{u_x} \sin \theta$ | $u_r = u_x \cos \theta + \underline{u_y} \sin \theta$ |
| P.35 23行目 | $\gamma_{\theta z} = \frac{\partial u_r}{\partial z} + \frac{1}{r} \frac{\partial u_z}{\partial \theta}$ | $\gamma_{\theta z} = \frac{\partial u_\theta}{\partial z} + \frac{1}{r} \frac{\partial u_z}{\partial \theta}$ |
| P.36 下から 3~4行目 | $\left(\sigma_r + \frac{\partial \sigma_r}{\partial r} dr \right) (r + dr) d\theta dz - \sigma_r r d\theta dz$ $- \left(2\sigma_\theta + \frac{\partial \sigma_\theta}{\partial \theta} d\theta \right) dr dz \sin\left(\frac{d\theta}{2}\right) + \frac{\partial \tau_{\theta r}}{\partial \theta} d\theta (dr dz) \cos\left(\frac{d\theta}{2}\right)$ $+ \frac{\partial \tau_{rz}}{\partial \theta} dz (rd\theta dr) + F_r r d\theta dr dz = 0$ | $\left(\sigma_r + \frac{\partial \sigma_r}{\partial r} dr \right) (r + dr) d\theta dz - \sigma_r r d\theta dz$ $- \left(2\sigma_\theta + \frac{\partial \sigma_\theta}{\partial \theta} d\theta \right) dr dz \sin\left(\frac{d\theta}{2}\right) + \frac{\partial \tau_{\theta r}}{\partial \theta} d\theta (dr dz) \cos\left(\frac{d\theta}{2}\right)$ $+ \frac{\partial \tau_{rz}}{\partial z} dz (rd\theta dr) + F_r r d\theta dr dz = 0$ |

| ページ、 行、図表番号 | 誤 | 正 |
|----------------|--|--|
| P.37 2行目 | $\frac{\partial \tau_{r\theta}}{\partial r} + \frac{1}{r} \frac{\partial \sigma_\theta}{\partial \theta} + \frac{\partial \tau_{\theta r}}{\partial z} + \frac{2\tau_{r\theta}}{r} + F_\theta = 0$ | $\frac{\partial \tau_{r\theta}}{\partial r} + \frac{1}{r} \frac{\partial \sigma_\theta}{\partial \theta} + \frac{\partial \tau_{\theta z}}{\partial z} + \frac{2\tau_{r\theta}}{r} + F_\theta = 0$ |
| P.37 16行目 | $\frac{\partial \sigma_r}{\partial r} + \frac{\partial \tau_{rz}}{\partial z} + \frac{\sigma_r}{r} + F_r = 0$ | $\frac{\partial \sigma_r}{\partial r} + \frac{\partial \tau_{rz}}{\partial z} + \frac{\sigma_r - \sigma_\theta}{r} + F_r = 0$ |
| P.40 1行目 | $\begin{Bmatrix} \tilde{u}_r(\xi, z) \\ \tilde{u}_z(\xi, z) \\ \tilde{\sigma}_z(\xi, z) \\ \tilde{\tau}_{rz}(\xi, z) \end{Bmatrix} = \begin{Bmatrix} \int_0^\infty ru_r(r, z)J_1(\xi r)dr \\ \int_0^\infty ru_z(r, z)J_0(\xi r)dr \\ \int_0^\infty r\sigma_z(r, z)J_0(\xi r)dr \\ \int_0^\infty r\tau_{rz}(r, z)J_1(\xi r)dr \end{Bmatrix} = [P_1(\xi, z)] \begin{Bmatrix} A(\xi) \\ B(\xi) \\ C(\xi) \\ D(\xi) \end{Bmatrix}$ | $\begin{Bmatrix} \tilde{u}_r(\xi, z) \\ \tilde{u}_z(\xi, z) \\ \tilde{\sigma}_z(\xi, z) \\ \tilde{\tau}_{rz}(\xi, z) \end{Bmatrix} = \begin{Bmatrix} \int_0^\infty ru_r(r, z)J_1(\xi r)dr \\ \int_0^\infty ru_z(r, z)J_0(\xi r)dr \\ \int_0^\infty r\sigma_z(r, z)J_0(\xi r)dr \\ \int_0^\infty r\tau_{rz}(r, z)J_1(\xi r)dr \end{Bmatrix} = [P_1(\xi, z)] \begin{Bmatrix} A(\xi) \\ B(\xi) \\ C(\xi) \\ D(\xi) \end{Bmatrix}$ |
| P.40 3行目 | $[P_1(\xi, z)] = \begin{bmatrix} -\xi^2 e^{-\xi z} & \xi(1-\xi z)e^{-\xi z} & \xi^2 e^{\xi z} & \xi(1+\xi z)e^{\xi z} \\ -\xi^2 e^{-\xi z} & -\xi(2-4\nu+\xi z)e^{-\xi z} & -\xi^2 e^{\xi z} & \xi(2-4\nu-\xi z)e^{\xi z} \\ 2\mu\xi^3 e^{-\xi z} & 2\mu\xi^2(1-2\nu+\xi z)e^{-\xi z} & -2\mu\xi^3 e^{\xi z} & \underline{2\mu\xi(1-2\nu-\xi z)e^{\xi z}} \\ 2\mu\xi^3 e^{-\xi z} & 2\mu\xi^2(-2\nu+\xi z)e^{-\xi z} & 2\mu\xi^3 e^{\xi z} & 2\mu\xi^2(2\nu+\xi z)e^{\xi z} \end{bmatrix}$ | $[P_1(\xi, z)] = \begin{bmatrix} -\xi^2 e^{-\xi z} & \xi(1-\xi z)e^{-\xi z} & \xi^2 e^{\xi z} & \xi(1+\xi z)e^{\xi z} \\ -\xi^2 e^{-\xi z} & -\xi(2-4\nu+\xi z)e^{-\xi z} & -\xi^2 e^{\xi z} & \xi(2-4\nu-\xi z)e^{\xi z} \\ 2\mu\xi^3 e^{-\xi z} & 2\mu\xi^2(1-2\nu+\xi z)e^{-\xi z} & -2\mu\xi^3 e^{\xi z} & \underline{2\mu\xi^2(1-2\nu-\xi z)e^{\xi z}} \\ 2\mu\xi^3 e^{-\xi z} & 2\mu\xi^2(-2\nu+\xi z)e^{-\xi z} & 2\mu\xi^3 e^{\xi z} & \underline{2\mu\xi^2(2\nu+\xi z)e^{\xi z}} \end{bmatrix}$ |
| P.40 7行目 | $[P_2(\xi, z)] = \begin{bmatrix} -2\mu\xi^3 e^{-\xi z} & 2\mu\xi^2(1+2\nu-\xi z)e^{-\xi z} & 2\mu\xi^3 e^{\xi z} & 2\mu\xi^2(1+2\nu+\xi z)e^{\xi z} \\ -2\mu\xi^3 e^{-\xi z} & 2\mu\xi^2(1+4\nu-\xi z)e^{-\xi z} & 2\mu\xi^3 e^{\xi z} & \underline{2\mu\xi^2(1+2\nu+\xi z)e^{\xi z}} \end{bmatrix}$ | $[P_2(\xi, z)] = \begin{bmatrix} -2\mu\xi^3 e^{-\xi z} & 2\mu\xi^2(1+2\nu-\xi z)e^{-\xi z} & 2\mu\xi^3 e^{\xi z} & 2\mu\xi^2(1+2\nu+\xi z)e^{\xi z} \\ -2\mu\xi^3 e^{-\xi z} & 2\mu\xi^2(1+4\nu-\xi z)e^{-\xi z} & 2\mu\xi^3 e^{\xi z} & \underline{2\mu\xi^2(1+4\nu+\xi z)e^{\xi z}} \end{bmatrix}$ |

| ページ、 行、図表番号 | 誤 | 正 |
|----------------|---|---|
| P.42 19行目 | $\frac{\tau_{z\theta}(r,0)}{\cos\theta} - \frac{\tau_{zr}(r,0)}{\sin\theta} = \begin{cases} 2q_0 & (0 \leq r \leq a) \\ 0 & (r > a) \end{cases}$ | $\frac{\tau_{z\theta}(r,0)}{\sin\theta} - \frac{\tau_{zr}(r,0)}{\cos\theta} = \begin{cases} 2q_0 & (0 \leq r \leq a) \\ 0 & (r > a) \end{cases}$ |
| P.42 20行目 | $\frac{\tau_{z\theta}(r,0)}{\cos\theta} + \frac{\tau_{zr}(r,0)}{\sin\theta} = 0 \quad (r > 0)$ | $\frac{\tau_{z\theta}(r,0)}{\sin\theta} + \frac{\tau_{zr}(r,0)}{\cos\theta} = 0 \quad (r > 0)$ |
| P.42 21行目 | <p>また、z軸方向の応力成分 $\underline{\gamma}_z$ は次式で表される。</p> | <p>また、z軸方向の応力成分 $\underline{\sigma}_z$ は次式で表される。</p> |
| P.42 22行目 | $\underline{\gamma}_z(r,0) = 0 \quad (r \geq 0)$ | $\underline{\sigma}_z(r,0) = 0 \quad (r \geq 0)$ |
| P.43 16行目 | $\tau_{rz} = \mu \left(\frac{\partial u_r}{\partial z} + \frac{1}{r} \frac{\partial u_z}{\partial r} \right)$ | $\tau_{rz} = \mu \left(\frac{\partial u_r}{\partial z} + \frac{\partial u_z}{\partial r} \right)$ |
| P.46 6行目 | $[P_1(\xi, z)] = \begin{bmatrix} \xi^2 e^{\xi z} & \xi(1+\xi z)e^{\xi z} & -\xi^2 e^{-\xi z} & \xi(1-\xi z)e^{-\xi z} & 2\xi e^{\xi z} & 2\xi e^{-\xi z} \\ -\xi^2 e^{\xi z} & -\xi(1+\xi z)e^{\xi z} & \xi^2 e^{-\xi z} & -\xi(1-\xi z)e^{-\xi z} & 2\xi e^{\xi z} & 2\xi e^{-\xi z} \\ -\xi^2 e^{\xi z} & -\xi(-2+\xi z+4\nu)e^{\xi z} & \xi^2 e^{-\xi z} & -\xi(2+\xi z-4\nu)e^{-\xi z} & 0 & 0 \\ -2\mu\xi^3 e^{\xi z} & -2\mu\xi^2(-1+\xi z+2\nu)e^{\xi z} & 2\mu\xi^3 e^{-\xi z} & 2\mu\xi^2(1+\xi z-2\nu)e^{-\xi z} & 0 & 0 \\ 2\mu\xi^3 e^{\xi z} & 2\mu\xi^2(\xi z+2\nu)e^{\xi z} & 2\mu\xi^3 e^{-\xi z} & 2\mu\xi^2(\xi z-2\nu)e^{-\xi z} & 2\mu\xi^2 e^{\xi z} & -2\mu\xi^2 e^{-\xi z} \\ 2\mu\xi^3 e^{\xi z} & 2\mu\xi^2(\xi z+2\nu)e^{\xi z} & 2\mu\xi^3 e^{-\xi z} & 2\mu\xi^2(\xi z-2\nu)e^{-\xi z} & -2\mu\xi^2 e^{\xi z} & 2\mu\xi^2 e^{-\xi z} \end{bmatrix}$ | $[P_1(\xi, z)] = \begin{bmatrix} \xi^2 e^{\xi z} & \xi(1+\xi z)e^{\xi z} & -\xi^2 e^{-\xi z} & \xi(1-\xi z)e^{-\xi z} & 2\xi e^{\xi z} & 2\xi e^{-\xi z} \\ -\xi^2 e^{\xi z} & -\xi(1+\xi z)e^{\xi z} & \xi^2 e^{-\xi z} & -\xi(1-\xi z)e^{-\xi z} & 2\xi e^{\xi z} & 2\xi e^{-\xi z} \\ -\xi^2 e^{\xi z} & -\xi(-2+\xi z+4\nu)e^{\xi z} & \xi^2 e^{-\xi z} & -\xi(2+\xi z-4\nu)e^{-\xi z} & 0 & 0 \\ -2\mu\xi^3 e^{\xi z} & -2\mu\xi^2(-1+\xi z+2\nu)e^{\xi z} & 2\mu\xi^3 e^{-\xi z} & 2\mu\xi^2(1+\xi z-2\nu)e^{-\xi z} & 0 & 0 \\ 2\mu\xi^3 e^{\xi z} & 2\mu\xi^2(\xi z+2\nu)e^{\xi z} & 2\mu\xi^3 e^{-\xi z} & 2\mu\xi^2(\xi z-2\nu)e^{-\xi z} & 2\mu\xi^2 e^{\xi z} & -2\mu\xi^2 e^{-\xi z} \\ 2\mu\xi^3 e^{\xi z} & 2\mu\xi^2(\xi z+2\nu)e^{\xi z} & 2\mu\xi^3 e^{-\xi z} & 2\mu\xi^2(\xi z-2\nu)e^{-\xi z} & -2\mu\xi^2 e^{\xi z} & 2\mu\xi^2 e^{-\xi z} \end{bmatrix}$ |

| ページ、 行、図表番号 | 誤 | 正 |
|---------------------|---|---|
| P.46 10行目 | $[P_2(\xi, z)] = \begin{bmatrix} -2\mu\xi^3 e^{\xi z} & \frac{2\mu\xi(1+\xi z+2\nu)e^{\xi z}}{} & -2\mu\xi^3 e^{-\xi z} & \frac{2\mu\xi(1+\xi z+2\nu)e^{-\xi z}}{} & 0 & 0 \\ 2\mu\xi^3 e^{\xi z} & \frac{2\mu\xi(1+\xi z+2\nu)e^{\xi z}}{} & -2\mu\xi^3 e^{-\xi z} & \frac{2\mu\xi(1+\xi z+2\nu)e^{-\xi z}}{} & 0 & 0 \\ 0 & 0 & 0 & 0 & 2\mu\xi^2 e^{\xi z} & 2\mu\xi^2 e^{-\xi z} \end{bmatrix}$ | $[P_2(\xi, z)] = \begin{bmatrix} -2\mu\xi^3 e^{\xi z} & \frac{2\mu\xi^2(1+\xi z+2\nu)e^{\xi z}}{} & -2\mu\xi^3 e^{-\xi z} & \frac{2\mu\xi^2(1+\xi z+2\nu)e^{-\xi z}}{} & 0 & 0 \\ 2\mu\xi^3 e^{\xi z} & \frac{2\mu\xi^2(1+\xi z+4\nu)e^{\xi z}}{} & -2\mu\xi^3 e^{-\xi z} & \frac{2\mu\xi^2(1-\xi z+4\nu)e^{-\xi z}}{} & 0 & 0 \\ 0 & 0 & 0 & 0 & 2\mu\xi^2 e^{\xi z} & 2\mu\xi^2 e^{-\xi z} \end{bmatrix}$ |
| P.49 図-2.22 | <p>荷重 (X, Y, 0) 着目点 (X + r cos θ, Y + r cos θ, 0)</p> | <p>荷重 (X, Y, 0) 着目点 (X + r cos θ, Y + r sin θ, 0)</p> |
| P.56 図-3.6 凡例 | ● アスファルト表層 | ● 標準的な弾性係数の場合 |
| P.58 図-3.8、図-3.9 | $E_{1\sim 3}$ 、 $\mu_{1\sim 3}$ | $E_{1\sim 3}$: 弾性係数 $\nu_{1\sim 3}$: ポアソン比 |
| P.60 式 (3.2a,b) | 単位の表示が抜けている | p : tf、 $P = \text{kgf/cm}^2$ 、 $p' = \text{kgf/cm}^2$ |
| P.60 式 (3.2b) | $p = 0.420 \cdot P + 0.290 \cdot p' + 1.444$ | $p = 0.420 \cdot P + 0.290 \cdot p' + 1.448$ |

| ページ、 行、図表番号 | 誤 | 正 |
|-------------------------|---|--|
| P.62 図-3.14 | バインダーのスティフネ | バインダーのスティフネス |
| P.62 上から 9 行目 | — | 追加「 $S_b = S_{bit}$ 」 |
| P.63 下から 1 行目 | $\theta = 0.1 \times 19 \times (1 + 2 \times 0.5) = \underline{38}$ | $\theta = 0.1 \times 19 \times (1 + 2 \times 0.5) = \underline{3.8}$ |
| | $E = 49749 \times (\underline{38})^{0.45} = 90716$ | $E = 49749 \times (\underline{3.8})^{0.45} = 90716$ |
| P.64 下から 6 行目 | であるので (3.9b) より、 | であるので (3.9a) より、 |
| P.66 図-3.17 | 水平方向の垂直応力 σ_x | 水平方向の垂直応力 σ_x (MPa) |
| P.67 上から 22 行目 | 弾性係数を調整してやれば、 | 弾性係数を調整すれば、 |
| P.67 下から 10 行目 | 動的作用するが | 動的に作用するが |
| P.70 (2)セットアップの 3 行目 | graphics.eva | graphics.ven |
| P.77 図-4.1 | ●の意味が明記されていない。また、 <u>4</u> 、 <u>5</u> 、 <u>6</u> の位置が分からない。 | ●：着目点 <u>4</u> ：x=30cm、 <u>5</u> ：x=60cm、 <u>6</u> ：x=90cm |
| P.93 上図 | データ行：層数， 載荷点数， <u>着目点数入力</u> | データ行：層数， 載荷点数 (， <u>着目点数入力</u> は削除) |

| ページ、 行、図表番号 | 誤 | 正 |
|--------------------------|--|---|
| <p>P.116 図-5.3.1</p> |  |  <p>座標表示修正</p> |
| <p>P.127 図-5.4.5</p> | <p>図-5.4.5 $\underline{\underline{\epsilon_x}}$の深さ方向の分布</p> | <p>図-5.4.5 $\underline{\underline{\epsilon_z}}$の深さ方向の分布</p> |
| <p>P.161 下から1行目</p> | <p>表-5.9.2より、解答は以下ようになる.</p> | <p>削除 (P.162、1行目と同じ)</p> |
| <p>P.162 図5.9.4</p> | <p>図5.9.4</p> | <p>図5.9.5</p> |

| ページ、 行、図表番号 | 誤 | 正 |
|------------------|--------|---|
| P.125 図-5.4.3 | 次ページ参照 | |

(2) 解析結果の表示

解析結果の出力画面を分割表示したものを図-5.4.3 に示す。

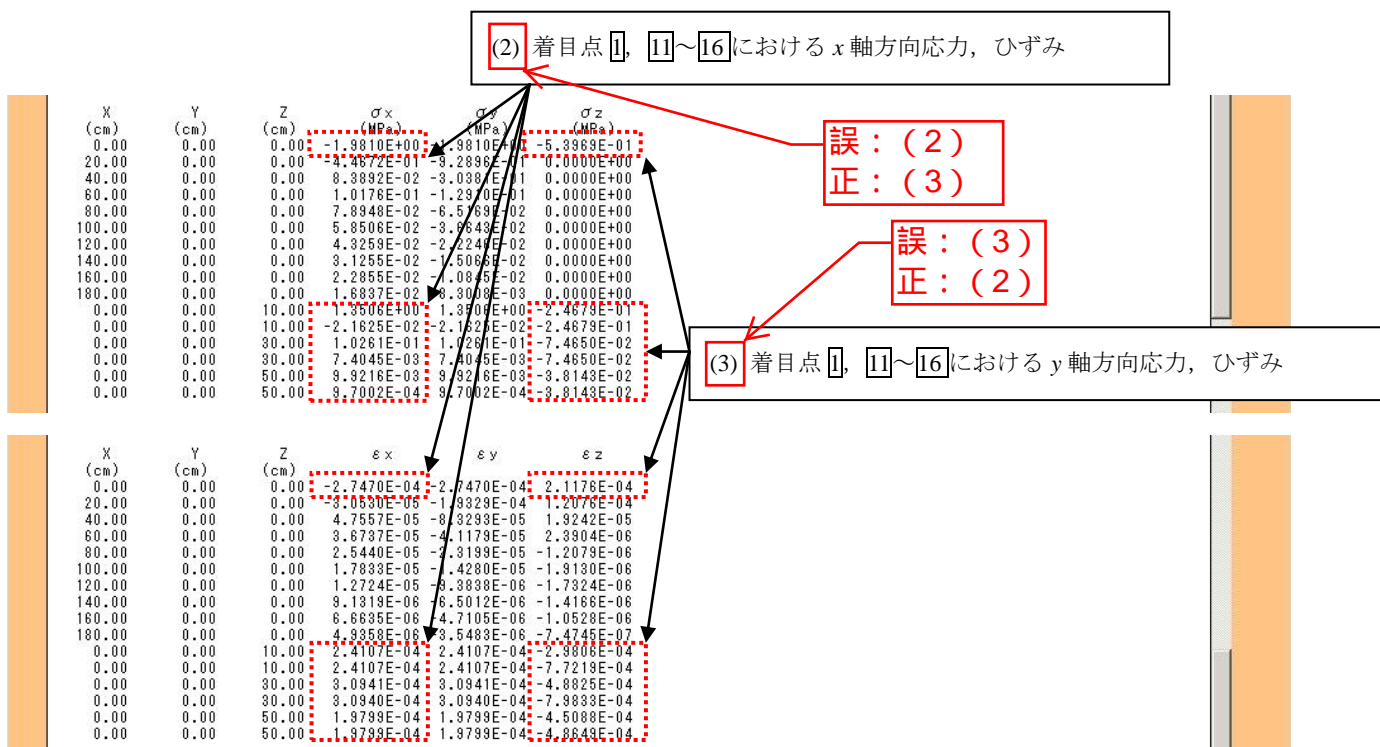
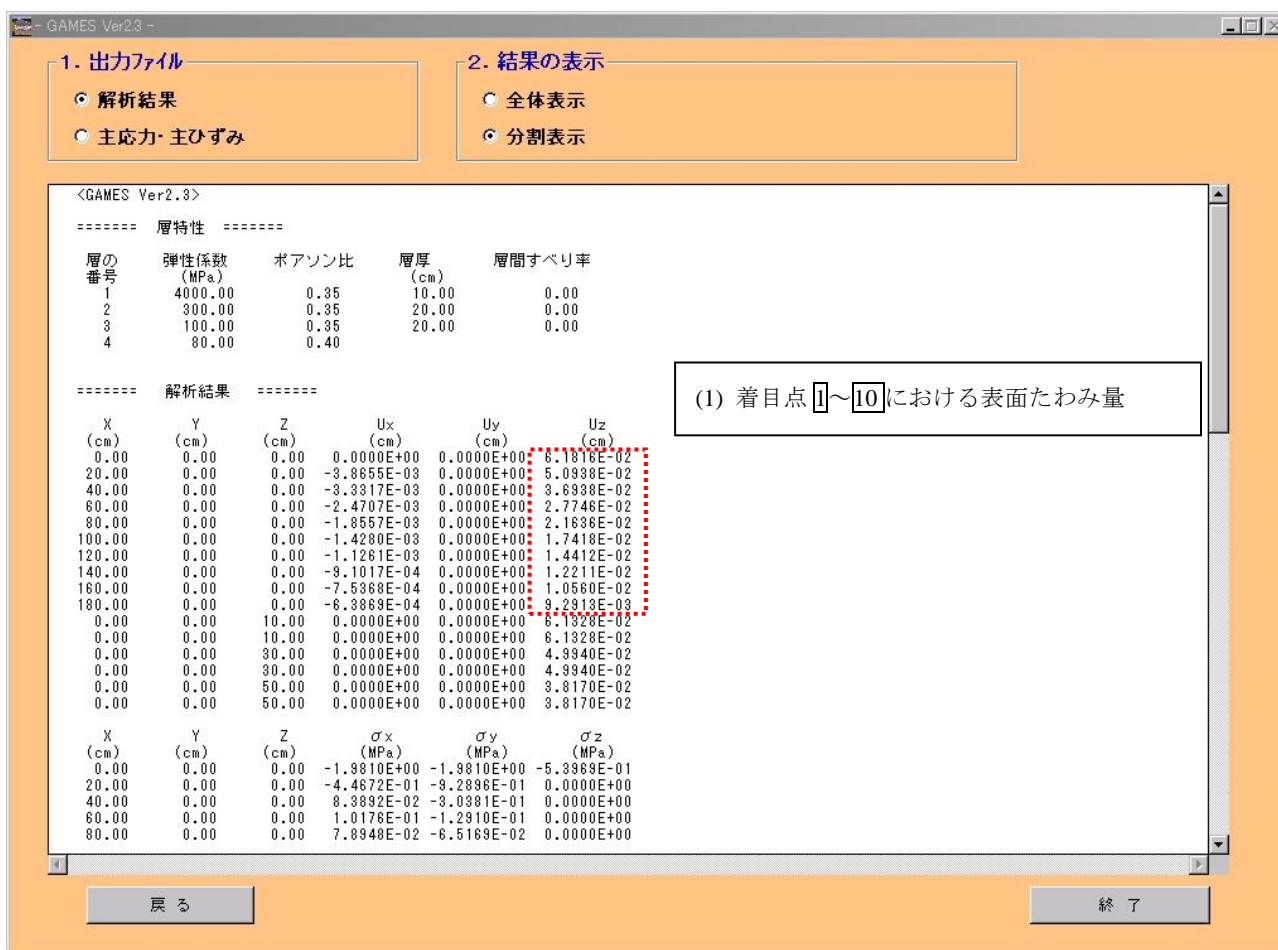


図-5.4.3 解析結果表示画面(分割表示)